07,11,12,13

Конформационная чувствительность прогрессий полос поглощения трикозана к полиморфным превращениям

© С.А. Гурьева 1 , В.А. Марихин 1 , А.К. Борисов 1 , Е.Н. Власова 2

1 Физико-технический институт им. А.Ф. Иоффе РАН,

Санкт-Петербург, Россия

² Институт высокомолекулярных соединений РАН,

Санкт-Петербург, Россия

E-mail: swet.gurjewa@gmail.com

Поступила в Редакцию 30 сентября 2025 г. В окончательной редакции 30 сентября 2025 г. Принята к публикации 16 октября 2025 г.

Методом ИК-Фурье-спектроскопии исследованы полиморфные превращения монодисперсного трикозана n- $C_{23}H_{48}$ при нагревании. Выявлено нарушение регулярности цепей в сердцевинах ламелей на основании температурных изменений прогрессий маятниковых колебаний групп CH_2 и валентных (скелетных) колебаний связей C-C. Обнаружена термическая активация различных типов конформационных дефектов, располагающихся преимущественно на концах цепей. Установлено, что растущее число конформационных дефектов способствует процессам перестроения кристаллической структуры при нагревании, в том числе и при переходах между промежуточными ротационными фазами (R_V , R_I , R_{II}).

Ключевые слова: н-алканы, ИК-спектроскопия, фазовые переходы, ротационно-кристаллические фазы.

DOI: 10.61011/FTT.2025.10.61977.263-25

1. Введение

Начиная с середины XX в, и по настоящее время неуклонно растет количество исследований, посвященных выявлению полиморфных превращений в различных гомологах длинноцепочечных н-алканов под воздействием температуры [1-8]. Однако до сих пор не удалось установить единого для всех гомологов механизма структурных перестроений при переходе из твердого состояния в жидкое и обратно в циклах нагреваниеохлаждение. Эта неопределенность обусловлена богатым разнообразием возникающих полиморфных модификаций в зависимости от длин цепей гомологов, что затрудняет выявление общих закономерностей. В связи с этим особое значение приобретает проведение подобных исследований на коммерчески доступных длинноцепочечных н-алканах $C_n H_{2n+2}$ с высокой степенью чистоты (≥ 95%) и монодисперсности при различных длинах цепей ($16 \le n \le 60$ с точностью до одного атома углерода в скелете молекулы).

У большинства гомологов н-алканов в процессах нагревания/охлаждения появляется одна дополнительная, а зачастую и целый ряд промежуточных твердых фаз. Некоторые из этих промежуточных фаз получили название ротационных (rotator phase, R) [9], поскольку характеризуются наличием позиционного порядка при отсутствии дальнего ориентационного порядка. Ротационные (или ротационно-кристаллические) R-фазы являются промежуточными между полностью упорядоченным кристаллическим состоянием и изотропной жидкостью в длинноцепочечных н-алканах. Основное их отличие от

чисто кристаллических фаз состоит в наличии дискретного вращения молекул вокруг своих осей, при этом для каждой из R-фаз характерно определенное число равновероятных ориентаций молекул в элементарных ячейках.

Важно отметить, что н-алканы относятся к классу длинноцепочечных молекулярных кристаллов, при кристаллизации которых выпрямленные метиленовые транс-последовательности укладываются в ламели — пластинчатые образования, сопоставимые по толщине с длиной молекулы гомолога (единицы nm) [10]. В ламеллярных кристаллах н-алканов выделяют два типа элементарных ячеек: основную ячейку (main cell), характеризующую способ укладки ламелей друг относительно друга в стопках, и субъячейку (subcell), описывающую характер укладки метиленовых транспоследовательностей внутри кристаллических сердечников ламелей.

Для длинноцепочечных н-алканов характерно подразделение гомологов на четные и нечетные в зависимости от числа атомов углерода в цепи, поскольку явно прослеживаются две отдельные закономерности в развитии структуры кристаллов [10], а также физических свойств, при увеличении длин цепей в двух сериях гомологов [8]. Источником происхождения эффекта четности является симметрия индивидуальной молекулы налкана с концевыми метильными группами, расположенными либо по одну сторону от оси транс-зигзага — цис-форма молекулы, либо по разные — транс-форма. Вследствие чего даже для ближайших гомологов различается характер расположения регулярных транс-

зигзагов в кристаллических сердечниках ламелей относительно базовых плоскостей из концевых метильных групп СН₃. Таким образом, структура упорядоченной кристаллической фазы гомолога н-алканов определяется транс- или цис-симметрией молекулы и характеризуется либо вертикальным расположением цепей в ламелях для нечетных гомологов (орторомбическая основная ячейка), либо наклонным расположением цепей (моноклинная/триклинная основная ячейка) для четных гомологов. Симметрии основной ячейки и субъячейки могут отличаться. Появление при нагревании той или иной промежуточной R-фазы, вероятно, обусловлено симметрией предшествующей кристаллической фазы.

При использовании методов синхротронной рентгеновской дифрактометрии и дифференциальной сканирующей калориметрии [11] нам впервые удалось выявить кинетику развития полной последовательности фазовых переходов различной природы при нагревании в нечетном н-алкане — трикозане $n-C_{23}H_{48}$, а именно, установлены переходы между следующими фазами: низкотемпературная орторомбическая кристаллическая фаза $O_i \rightarrow$ высокотемпературная орторомбическая кристаллическая фаза $O_{dci} \rightarrow$ моноклинная ротационная фаза $R_V \Rightarrow$ орторомбическая ротационная фаза $R_I o$ ромбоэдрическая (гексагональная) ротационная фаза $R_{II} o жидкость.$ Дополнительную информацию о структурных перестроениях кристаллического сердечника ламелей при полиморфных превращениях трикозана между ротационными фазами нам удалось получить на основе метода ИК-Фурье-спектроскопии при исследовании температурных изменений маятниковых и ножничных колебаний групп СН₂ [12]. Однако маловероятно, что на основании проведенных исследований можно достоверно выявить переход между кристаллическими орторомбическими фазами O_i и O_{dci} . Тем не менее, в литературе [13] именно с помощью метода ИКспектроскопии переход $O_i o O_{dci}$ был впервые обнаружен по эффекту возрастания числа конформационных дефектов в более длинных гомологах н-алканов.

На текущий момент достаточно надежно установлено, что при нагревании трикозана характерно появление трех ротационных фаз: R_V, R_I и R_{II}, структуры которых описаны в [4]. Фазы R_V и R_I характеризуются орторомбическими субъячейками, при этом в фазе R_I основные ячейки являются гранецентрированными орторомбическими, тогда как в фазе R_V — моноклинными. Для обеих фаз характерна двухслойная последовательность укладки ламелей (АВА...), как и для низкотемпературной орторомбической фазы. Высокотемпературная фаза R_{II} описывается ромбоэдрическими основными ячейками, гексагональными субъячейками и трехслойной ламеллярной укладкой (АВСА...). При этом полученные нами ИК-спектроскопические данные свидетельствуют о значительной устойчивости твердой гексагональной фазы вплоть до температуры плавления образца [12].

Отметим, что в R-фазах сохраняется кристаллическая ламеллярная структура (дальний порядок в расположении центров макромолекул), однако при переходе из одной R-фазы в другую при нагревании увеличивается число возможных равновероятных ориентаций молекул в субъячейках (вследствие дискретного вращения молекул в ламелях). Считается, что в высокотемпературной гексагональной фазе ($R_{\rm II}$) возникает полный ориентационный беспорядок плоскостей транс-зигзагов в субъячейках.

Мы полагаем, что подобный сложный механизм полиморфных превращений одних ротационно-кристаллических фаз в другие обусловлен термической активацией различного вида конформационных дефектов (преимущественно концевых гош-дефектов и кинков), которые, нарушая симметрию индивидуальной молекулы, приводят к возникновению упорядоченных областей с иной кристаллической симметрией. Соответствующие результаты получены нами при анализе нарушения регулярности цепей в сердцевинах ламелей при полиморфных превращениях для ближайшего гомолога трикозана — тетракозана n- $C_{24}H_{50}$ с исходной триклинной симметрией элементарных ячеек [14].

Для веществ, кристаллические сердцевины ламелей которых образованы из протяженных метиленовых транс-последовательностей, характерно возникновение прогрессий различных колебательных мод в ИКспектрах. Нарушение регулярности метиленовых транспоследовательностей, в частности, при нагревании должно сказываться на числе полос в прогрессиях и их интенсивности. В этой связи настоящая работа посвящена анализу температурных изменений ИК-спектров в области наиболее интенсивных прогрессий полос поглощения, характерных для н-алканов, с целью выявления взаимосвязи структурных трансформаций, происходящих на молекулярном уровне, с полиморфными превращениями н-алканов при нагревании, на примере трикозана.

Подробный анализ наблюдаемых в ИК-спектре трикозана прогрессий маятниковых и скелетных колебаний при комнатной температуре был проведен в предыдущей нашей статье [15]. В настоящей работе будут исследованы изменения полос в области рассматриваемых прогрессий, вызванные полиморфными превращениями при нагревании н-алкана.

Таким образом, настоящая работа направлена на установление роли термической активации конформационных дефектов на конкретных этапах структурных перестроений нечетного длинноцепочечного н-алкана трикозана при нагревании, что позволит сравнить новые результаты с полученными ранее для тетракозана [14]. Кроме того, в настоящей работе мы проследим за изменениями концентрации конформеров, не только представленных в предыдущей работе для тетракозана, но и тех, которые в литературе однозначно не отнесены к определенному типу дефектов. Это позволит с большей чувствительностью следить за структурными трансформациями трикозана.

Проведенные исследования позволят предложить обобщенную модель протекания твердофазных переходов в гомологах длинноцепочечных н-алканов.

2. Экспериментальная часть

В работе исследуются особенности кинетики полиморфного превращения кристаллических фаз нечетного н-алкана трикозана n- $C_{23}H_{48}$ (с цис-симметрией индивидуальной молекулы), монодисперсные образцы которого (с чистотой 99%) произведены фирмой Sigma-Aldrich в виде пластинчатых хлопьевидных продуктов синтеза.

Образцы микрометровой толщины готовились путем нанесения хлопьев н-алкана на полированные пластины NaCl. Затем осуществлялось их плавление и последующее медленное охлаждение для получения равновесной кристаллической структуры.

Запись спектров поглощения проводилась в области $\nu=400-5000\,{\rm cm^{-1}}$ на ИК-Фурье-спектрометре Bruker IFS-88 с разрешением $2\,{\rm cm^{-1}}$, числом сканов 50. Для устранения возможного искажения спектров проводилось вычитание спектров атмосферной влаги и ${\rm CO_2}$ с помощью встроенного ${\rm \PiO}$ фирмы Bruker.

Запись спектров поглощения проводилась в интервале от $T_{\rm room}$ до температуры плавления образца $(T_m = 47.2 - 47.8 \,^{\circ}\text{C})$ при ступенчатом повышении на $\Delta T = 2 - 3$ °C, за исключением области температур твердофазных переходов, измерения в которых проводились более детально, с шагом $\Delta T = 0.1 - 0.3$ °C, для выявления кинетики полиморфных превращений. Кроме того, образцы на каждом шаге выдерживались при определенной температуре в течение 10 min для достижения равновесного состояния. Измерение температуры осуществлялось с точностью $\Delta T = \pm 0.05\,^{\circ}\mathrm{C}$ с помощью специально изготовленной дифференциальной термопары хромель-копель (с диаметром проводов 0.1 mm), один конец которой помещался в непосредственной близости от образца, а другой — в жидкий азот, с целью стабилизации разницы температур и повышения чувствительности термопары.

Разделение налагающихся полос поглощения в экспериментально полученных ИК-спектрах на индивидуальные компоненты и последующий их анализ проводились с помощью программы Fityk 1.3.1 [16] при использовании функции Pearson VII. Для сопоставления интегральных интенсивностей полос в прогрессиях и корректности учета фоновых вкладов при изменении спектров базовая линия вычиталась единообразно во всем спектральном диапазоне $\nu = 670-1200\,\mathrm{cm}^{-1}$ каждого спектра при нагревании. Проведенная работа по одновременному анализу ~ 100 полос каждого спектра позволяет нам с большой достоверностью сопоставлять полосы прогрессий как друг с другом при одной температуре, так и их трансформации на каждом температурном шаге.

3. Анализ прогрессий в ИК-спектре трикозана $C_{23}H_{48}$

Для изучения трансформации структуры транс-зигзага молекулы нечетного н-алкана трикозана в процессе нагревания выбрана область ИК-спектра, содержащая две наиболее интенсивные прогрессии колебаний метиленовых транс-последовательностей. Прогрессия полос, обусловленная маятниковыми колебаниями групп СН2 в н-алканах, проявляется в области $\nu = 700-1100\,\mathrm{cm}^{-1}$ и обозначена Снайдером как Р_к [17]. Высокочастотный край этой области перекрывается другой прогрессией, обусловленной валентными (скелетными) колебаниями связей С-С и занимающей частотный диапазон $\nu = 950-1150\,\mathrm{cm}^{-1}$. Для этой прогрессии принято обозначение R_k [17]. Нужно отметить, что сильное влияние на обе прогрессии оказывает достаточно интенсивная полоса вблизи $890\,\mathrm{cm}^{-1}$, принадлежащая локализованному маятниковому in-plane-колебанию концевой метильной группы CH_3 и обозначаемая β (или P_{CH_2}) [17].

Спектр трикозана представлен на рис. 1, отнесение полос проводилось в соответствии с работами [17,18].

Большинство выделенных частот колебаний в спектре трикозана при комнатной температуре (рис. 1) немного сдвинуто в сторону меньших значений, чем наблюдаемые для той же молекулы в ее вытянутой конформации (при $T=-180\,^{\circ}\mathrm{C}$) [18]. Такое спектральное поведение обусловлено более низкой концентрацией транс-конформеров [19], что свидетельствует о наличии нерегулярных конформеров уже в низкотемпературном упорядоченном кристаллическом состоянии. Тем не менее, наличие всех ожидаемых членов прогрессии маятниковых колебаний $\mathrm{CH_2}$ групп $\mathrm{(P_k)}$ позволяет утверждать, что большинство молекул в ламелях полностью находятся в транс-конформации без каких-либо конформационных дефектов, и лишь единичные молекулы, вероятно, имеют один концевой гош-дефект [14].

Подробный анализ и соотнесение полос в исследуемых прогрессиях P_k и R_k в низкотемпературной орторомбической модификации трикозана проведены в работе [15] на основании модели линейной цепи связанных осцилляторов [20].

Хорошо известно [21], что в области деформационных колебаний ИК-спектра трикозана наблюдаются интенсивные дублеты характеристических полос, в том числе для маятниковых колебаний: $\nu(P_1)=719.4/729.1\,\mathrm{cm}^{-1}$ (рис. 1). Такое расщепление полос называют факторгрупповым. Дублет возникает в результате синфазных и противофазных колебаний двух неэквивалентно расположенных молекул в субъячейке [20,22]. Степень расщепления таких полос зависит от межмолекулярного взаимодействия [21], которое изменяется с температурой [12]. Таким образом, появление дублетов полос деформационных колебаний в ИК-спектрах свидетельствует об образовании субъячеек орторомбической симметрии [21], включающих две молекулы на ячейку. Более общее рассмотрение этого вопроса было представлено

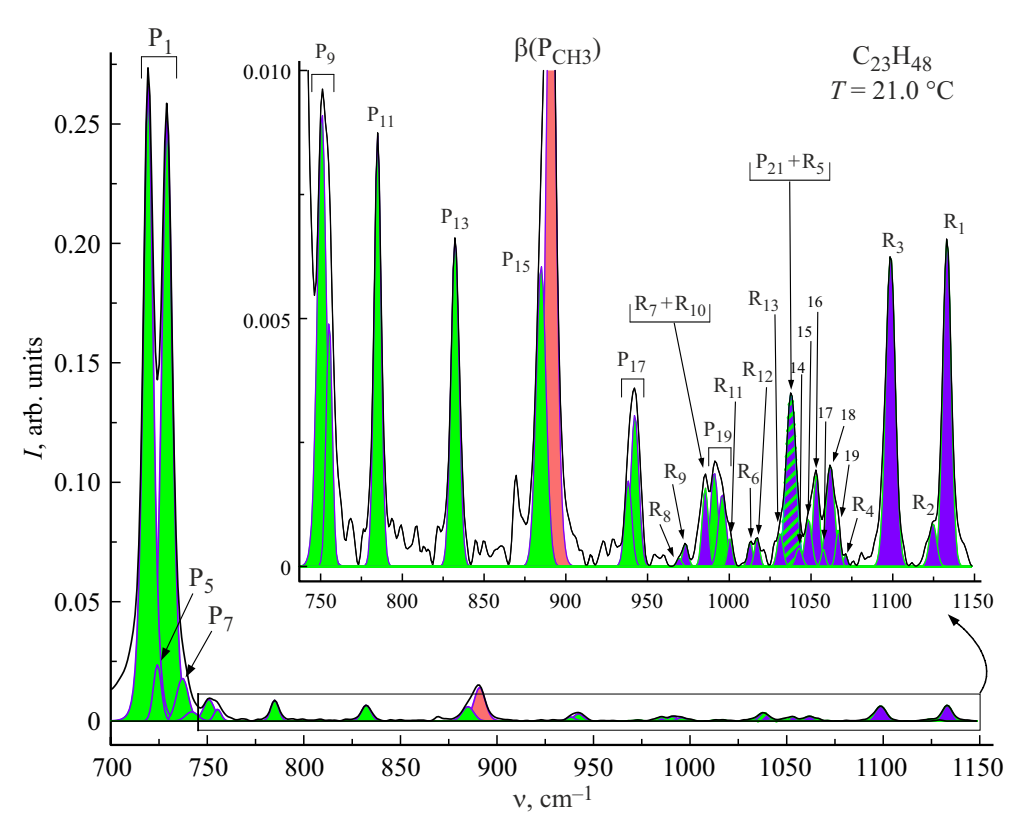


Рис. 1. ИК-спектр трикозана $C_{23}H_{48}$ при $T=21\,^{\circ}C$. Отмечены полосы поглощения, отнесенные к прогрессиям маятниковых колебаний групп CH_2 (P_k) (зеленые полосы) и валентных колебаний связей C-C (R_k) (фиолетовые полосы), а также выделено характеристическое маятниковое колебание метильной группы CH_3 (β) (красная полоса).

Давыдовым [23], поэтому появление мультиплетов в спектрах молекулярных кристаллов носит название давыдовского расщепления. Наблюдаемый эффект связан с образованием молекулярных экситонов в субъячейках, содержащих идентичные молекулы, ориентированные под углом $\sim 90\,^\circ$ друг к другу, при этом число соответствующих полос в спектре равно числу молекул в субъячейке.

Наблюдаемые нами прогрессии ИК-полос поглощения маятниковых (P_k) и скелетных (R_k) колебаний (рис. 1) характерны для молекул, полностью находящихся в транс-конформации без каких-либо конформационных дефектов в самой низкотемпературной полиморфной модификации трикозана (в фазе O_i). Однако значительный интерес представляют возможные конформационные изменения н-алканов, вызванные различными полиморфными превращениями, происходящими при нагревании вплоть до температур их плавления T_m . Такие превращения мы наблюдали в [12].

На рис. 2 представлены спектры трикозана в области $735-1150\,\mathrm{cm^{-1}}$ при температурах, соответствующих различным фазам, выделенных нами в предыдущей работе [12]. Можно заключить, что прогрессии полос P_k и R_k остаются четко выраженными в исходной орторомбической фазе (вплоть до $T<40.3\,^{\circ}\mathrm{C}$), а также в ротационных фазах R_V ($\Delta T=40.3-40.6\,^{\circ}\mathrm{C}$)

и $R_{\rm I}$ ($\Delta T=40.6-41.2\,^{\circ}{\rm C}$), но с уже уменьшенными интенсивностями. В высокотемпературной гексагональной $R_{\rm II}$ -фазе ($\Delta T=43.7-46.6\,^{\circ}{\rm C}$) интенсивность всех полос в прогрессиях значительно падает; при этом, однако, все полосы все еще оказываются различимы, т.е. большинство молекул сохраняют регулярную транс-конформацию. В спектре расплава (при $T=47.2-47.8\,^{\circ}{\rm C}$) число полос в прогрессиях существенно сокращается, и вместо них остается несколько широких максимумов, обусловленных суперпозицией полос большого числа различных конформеров, локализованных в определенных частях цепей. Отметим, что полоса локализованной моды β (вблизи 890 cm $^{-1}$) хорошо различима в расплаве.

На рис. 2 отмечено также возникновение при нагревании полос постоянной частоты, связанных с локализованными модами колебаний. Согласно литературным данным [24], отмеченные полосы должны быть связаны с конформерами, локализованными на концах цепей, а именно, с концевыми гош-дефектами gt_m . В этой конформации предпоследняя связь цепи находится в положении гош (g или g^*), тогда как остальные m связей — в положении транс (t). При этом m обозначает степень локализации дефекта, его удаление от других гош-связей. Можно заключить, что в спектрах трикозана наблюдаются полосы поглощения несколь-

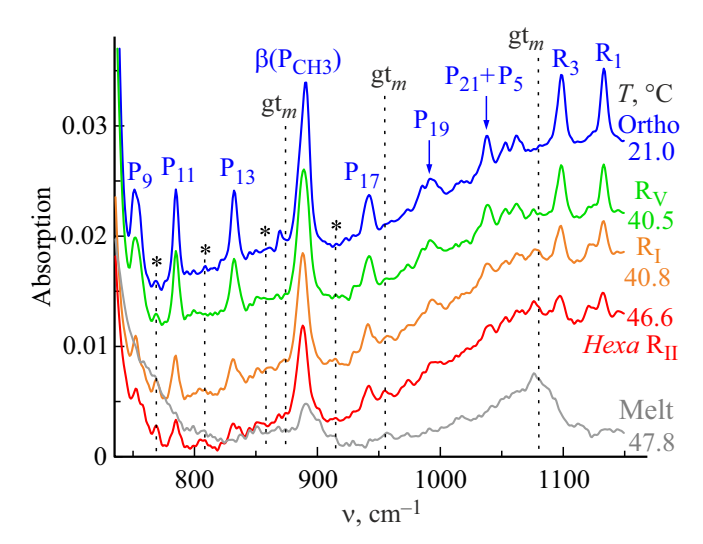


Рис. 2. ИК-спектры в области прогрессий P_k и R_k различных фазовых состояний трикозана при нагревании. Звездочки указывают на появление полос P_{even} , а также отмечено возникновение полос постоянной частоты gt_m , связанных с локализованными на концах цепей модами колебаний.

ких типов концевых гош-дефектов gt_m , отличающихся степенью локализации в транс-цепи и, соответственно, связанной с ними частотой колебания: $\nu=873.6\,\mathrm{cm}^{-1}$ $(m>5),~\nu=956.2\,\mathrm{cm}^{-1}~(m>8)$ и $\nu=1080.8\,\mathrm{cm}^{-1}$ (m>1), что полностью согласуется с литературными данными [13,24].

Помимо полос, связанных с конформерами, в спектрах трикозана при нагревании также возникают слабые полосы, расположенные примерно посередине между k-нечетными полосами маятниковой моды (P_k) . Их появление отмечено звездочками на рис. 2. Можно предположить, что эти полосы связаны с нелокализованными модами колебаний и относятся к к-четным маятниковым модам (P_{even}). Поскольку эти моды в соответствии с правилами отбора должны быть ИК-неактивны для полностью транс-цепи, то их появление может свидетельствовать о возникновении неплоских конформаций. Однако одновременное сосуществование четных и нечетных членов прогрессии с наблюдаемым соотношением интенсивностей указывает на незначительное отклонение структуры цепей от полностью транс-конформации, поэтому можно предположить, что многие из концевых дефектов возникают в остальном в плоских цепях (< 1 дефекта на молекулу). К аналогичным выводам пришли и авторы работ [13,24-27] при исследовании других гомологов н-алканов. Более того, полосы Peven имеют измеримую интенсивность даже в исходной орторомбической структуре $(\nu(P_{10}) = 768.0 \,\mathrm{cm}^{-1}, \ \nu(P_{12}) = 805.0 \,\mathrm{cm}^{-1},$ $u(P_{14}) = 856.8 \,\mathrm{cm}^{-1}, \ \nu(P_{16}) = 915.3 \,\mathrm{cm}^{-1}), \ \mathrm{Te.}$ небольшая часть молекул оказывается неплоской даже в самой низкотемпературной твердой фазе трикозана при комнатной температуре.

Как уже отмечалось ранее, при переходе от исходной орторомбической фазы к высокотемпературной гексагональной $R_{\rm II}$ происходит уменьшение интенсивности полос $P_{\rm odd}$, которые характерны для полностью трансцепи (рис. 3). Можно утверждать, что полностью трансмолекулы по-прежнему являются основными и в фазе $R_{\rm II}$, хотя явно присутствуют и неплоские молекулы. Однако уменьшенная интенсивность полос $P_{\rm odd}$ не является достоверным количественным показателем доли молекул, которые остаются плоскими в высокотемпературной фазе, поскольку наблюдаемой потере интенсивности этих полос при переходе $R_{\rm I} \rightarrow R_{\rm II}$ способствуют и другие факторы, помимо изменения концентрации конформеров.

На рис. 3, a, c и e представлены температурные зависимости положения максимумов полос Podd прогрессии маятниковых колебаний трикозана, за некоторым исключением. Анализ температурного изменения (частоты и интенсивности) полосы Р₇ затруднен, поскольку полоса скрыта интенсивным дублетом Р₁. Также не представлен график зависимости для частоты полосы Р₁₉, т.к. она остается почти постоянной при нагревании (аналогично полосе P_{11}). На основании наблюдаемых температурных изменений можно заключить, что большинство полос P_{odd} в интервале $\Delta T = 40.3 - 40.6\,^{\circ}\text{C}$ (фаза R_{V}) резко смещается в сторону меньших частот на $\Delta \nu = 1 - 2 \, \mathrm{cm}^{-1}$ (рис. 3, а, с и е). Смещения частот колебаний связаны с небольшими изменениями межмолекулярных взаимодействий при трансформации параметров кристаллических ячеек. Отметим, что величина давыдовского расщепления полос Р₉ и Р₁₇ слабо зависит от температуры, однако интенсивность одной из полос в этих дублетах при нагревании падает в большей степени, чем у другой (рис. 3, d и f).

На рис. 3, b, d и f представлены температурные зависимости интегральных интенсивностей для анализируемых полос прогрессии (Podd). Необходимо отметить, что при нагревании дублет полос P_1 ($\nu = 719.4/729.1 \, \text{cm}^{-1}$), соответствующий исходной орторомбической субъячейке, перетекает в полосу P'_1 ($\nu = 721.3 \, \text{cm}^{-1}$), соответствующую уже гексагональной субъячейке (фаза R_{II}), (рис. 3, a и b). При этом полоса P'_1 возникает в очень узком интервале $\Delta T = 40.3 - 40.6$ °C (фаза R_V) в виде одиночной полосы асимметричной формы $\nu = 720.4\,\mathrm{cm}^{-1}\,\mathrm{c}$ выраженным перегибом при $\nu = 726.3 \, \mathrm{cm}^{-1}$. При дальнейшем повышении температуры $\Delta T = 40.6 - 41.2 \,^{\circ}\text{C}$ $(\phi a a R_I)$ полоса P_1' продолжает приближаться по частоте к своему значению в фазе R_{II}, становясь все более симметричной. Описанное поведение полосы P_1' в ходе структурных перестроений мы связываем с появлением специфического дублета (некоторого давыдовского расщепления полос) от несколько искаженных орторомбических субъячеек в фазах R_V и R_I и с его ослаблением, обусловленным вращением молекул в ротационных фазах [12].

Снижение интегральных интенсивностей полос прогрессии P_{odd} от P_{9} до P_{21} (точнее, до комбина-

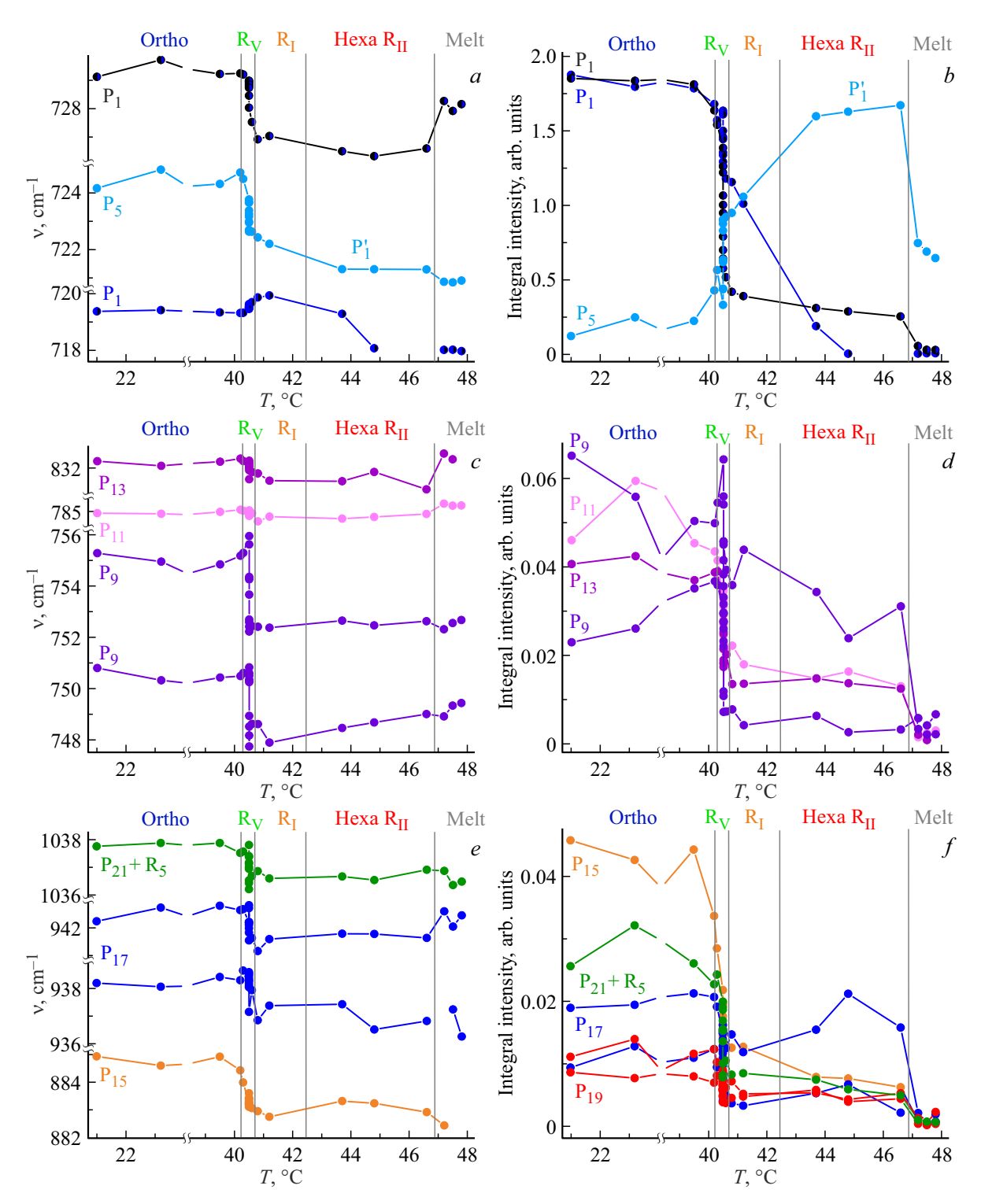


Рис. 3. Температурные изменения ИК-спектров трикозана в области прогрессии маятниковых колебаний (P_k) : a, c и e) температурные зависимости положения максимумов наиболее сильных полос прогрессии; b, d и f) температурные зависимости интегральных интенсивностей полос прогрессии. Температурные интервалы указанных фазовых состояний выбраны в соответствии с [12] (аналогичные обозначения используются и на последующих рисунках).

ции полос $P_{21}+R_5$, эти полосы однозначно разделяются при $T\geq 40.5\,^{\circ}\mathrm{C}$) при нагревании представлено на рис. 3, d и f. При этом наиболее резкое уменьшение интенсивностей происходит в очень узком темпера-

турном интервале $\Delta T=40.5-40.6\,^{\circ}\mathrm{C}$, вблизи перехода $\mathrm{R_{V}}\to\mathrm{R_{I}}$. При переходе $\mathrm{R_{I}}\to\mathrm{R_{II}}$ прогрессия полос $\mathrm{P_{odd}}$ вновь ослабевает, однако в значительно меньшей степени. Хотелось бы отметить, что для четного н-алкана

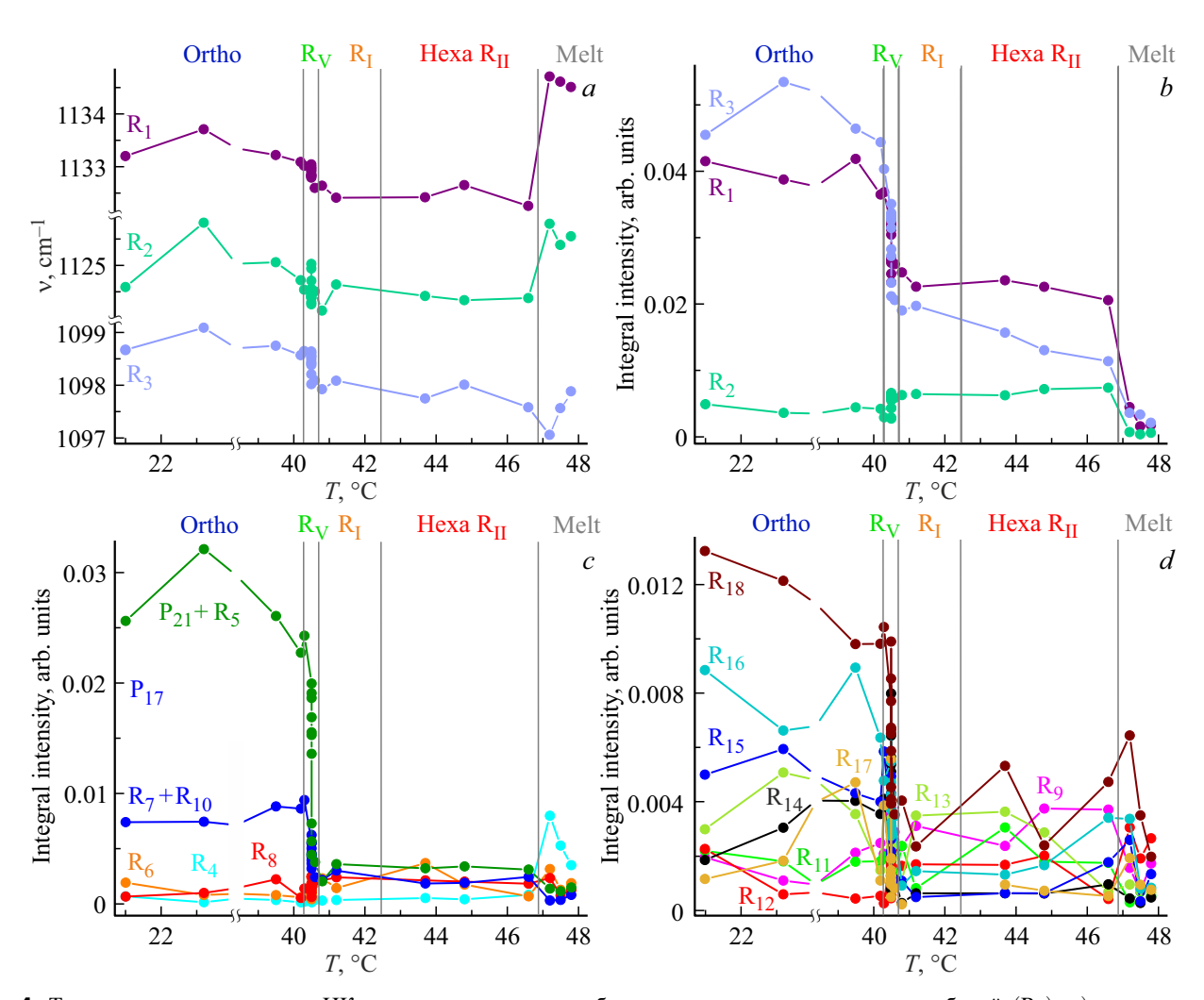


Рис. 4. Температурные изменения ИК-спектров трикозана в области прогрессии скелетных колебаний (R_k) : a) температурные зависимости положения максимумов высокочастотных членов прогрессии (R_1, R_2, R_3) ; b, c и d) температурные зависимости интегральных интенсивностей для всех полос прогрессии.

тетраказана аналогичное уменьшение интенсивности полос в прогрессиях наблюдалось именно при переходе в высокотемпературную гексагональную фазу [14], чем подчеркивается отличие структурных трансформаций молекул разной симметрии при одних и тех же полиморфных превращениях [12]. При переходе вещества в расплав вследствие нарушения регулярности трансзигзагов интенсивность всех членов прогрессии значительно падает, оставляя лишь едва различимые полосы на фоне, обусловленном суперпозицией большого числа различных конформеров.

Аналогичный анализ температурных изменений в области прогрессии скелетных колебаний (R_k) представлен на рис. 4. На рис. 4, a представлены температурные зависимости положения максимумов высокочастотных членов прогрессии R_1 , R_2 и R_3 , а на рис. 4, b — изменение их интегральных интенсивностей при нагревании трикозана. Наиболее сильные члены прогрессии R_1 и R_3 демонстрируют небольшое уменьшение частот на $\Delta \nu \approx 1\,\mathrm{cm}^{-1}$ вновь при температуре

 $T = 40.5 - 40.6\,^{\circ}\mathrm{C}$, что сопровождается резким падением интенсивности этих полос вдвое. Частота полосы R2 меняется не столь однозначно при повышении температуры, особенно при переходах между ротационными фазами. Однако необходимо отметить, что интенсивность этой полосы несколько возросла при переходе в фазу R_I и далее почти не изменилась на протяжении всей фазы R_{II}. Вероятно, такое усиление полосы может быть обусловлено появлением некоего конформационного дефекта, который не наблюдается в расплаве, а следовательно, является достаточно локализованным. Аналогично, на спектрах ротационных фаз R_I и R_{II} тетракозана наблюдаются новые полосы $\nu \approx 1099$ и 1131 cm $^{-1}$ [14], соответствующие появлению членов R₃ и R₁, не характерных для четных гомологов и указывающих на возникновение концевых гош-дефектов.

На рис. 4, c и d представлены температурные зависимости интегральных интенсивностей для остальных полос прогрессии R_k (от R_4 до R_{18}), которые также резко уменьшаются по интенсивности в очень узком интервале

 $\Delta T = 40.5 - 40.6\,^{\circ}\mathrm{C}$, однако остаются различимыми даже в спектре фазы R_{H} .

Таким образом, уменьшение интенсивности полос P_{odd} и R_k наблюдается при каждом изменении фазового состояния н-алкана, в том числе и при промежуточных переходах между ротационными фазами, что отчетливо видно на рис. 2. Более того, резкое уменьшение интенсивности прогрессий происходит именно вблизи перехода $R_V \to R_I$ (рис. 3 и 4), что указывает на наиболее существенные нарушения структуры транс-зигзага молекул именно на этой стадии структурных превращений в трикозане. Отметим, что о термической активации конформационных дефектов на этом переходе также свидетельствует некоторое возрастание интенсивности полос, отнесенных к модам Peven неплоских молекул, реагирующих также и на переход в фазу R_{II} (рис. 5). С ростом температуры в ИК-спектрах наблюдаются прерывистые изменения, соответствующие резким скачкам концентрации неплоских конформеров при переходе $R_V \to R_I$ и в гексагональной фазе R_{II} .

Одними из наиболее простых и низкоэнергетических нерегулярных конформеров являются концевые гошдефекты. На рис. 6 представлены изменения интегральных интенсивностей полос (концентрации) обнаруженных в исследуемой области спектра концевых гош-дефектов gt_m при нагревании трикозана. Как уже упоминалось ранее, даже в исходной орторомбической фазе присутствует небольшое число молекул с концевыми дефектами. В частности, имеются незначительные концентрации низкоэнергетических дефектов $\operatorname{\mathsf{gt}}_m$ на частотах $v = 873.6 \,\mathrm{cm}^{-1} \,(m > 5), \, v = 956.2 \,\mathrm{cm}^{-1} \,(m > 8)$ и $\nu = 1080.8 \, \text{cm}^{-1} \, (m > 1)$, тем не менее, первых дефектов в несколько раз больше, на основании данных об интегральных интенсивностях соответствующих полос поглощения. С повышением температуры концентрации всех дефектов постепенно возрастают, испытывая значительные скачки при переходах между ротационными фазами (рис. 6). Так, при переходе в фазу $R_{\rm V}$ количество концевых гош-дефектов с $\nu = 873.6\,\mathrm{cm}^{-1}$ подскакивает в 2 раза, с $\nu = 1080.8 \, \mathrm{cm}^{-1}$ — в 9 раз, затем на протяжении фазы R_I максимальные значения этих дефектов сохраняются. Концентрации дефектов с $\nu = 956.2 \, \text{cm}^{-1}$ подскакивают в 11 раз при переходе в фазу R_V, однако в фазе R_I их число только в 2 раза превышает исходное. При дальнейшем нагревании концентрации дефектов с $\nu = 1080.8\,{\rm cm^{-1}}$ на протяжении всей фазы R_{II} практически не меняются, тогда как с $\nu = 873.6 \, \mathrm{cm}^{-1}$ подскакивают в 2 раза, с $\nu = 956.2 \, \mathrm{cm}^{-1}$ — в 5 раз. В спектре расплава концентрации сильно локализованных дефектов уменьшаются, а возрастает в 10 раз число конформеров с $\nu = 1080.8 \,\mathrm{cm}^{-1}$.

Можно заключить, что в твердых фазах трикозана преобладают концевые дефекты с наибольшей степенью локализации (m>8), что подчеркивает сохранение большинством молекул регулярных транс-конформаций в сердцевинах ламелей на протяжении всех полиморфных превращений. Переход в моноклинную фазу R_V

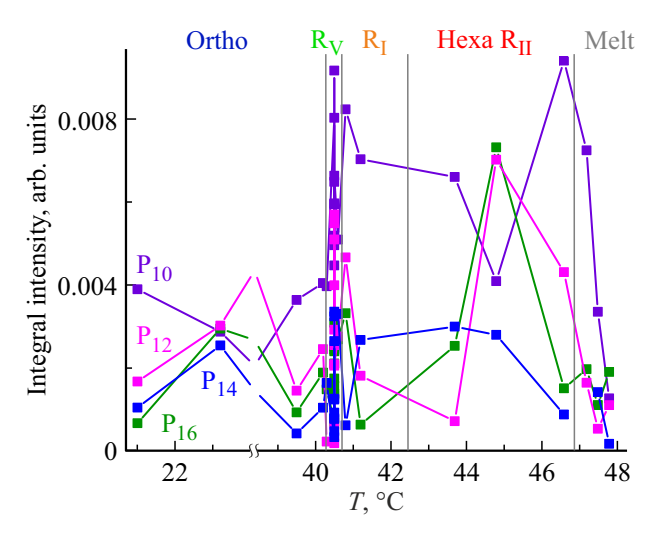


Рис. 5. Температурные зависимости интегральных интенсивностей обнаруженных полос P_{even} прогрессии маятниковых колебаний трикозана.

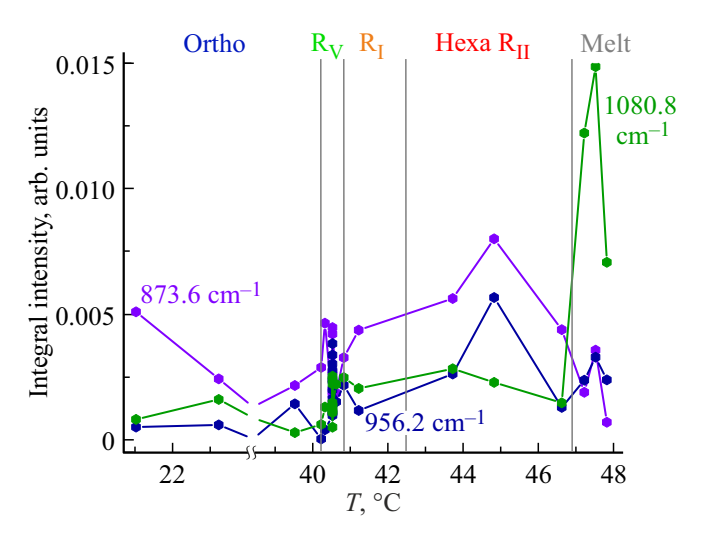


Рис. 6. Температурные зависимости интегральных интенсивностей ИК-полос трикозана, связанных с концевыми гошдефектами gt_m , обнаруженными в области прогрессий P_k и R_k .

облегчается преимущественно за счет активации этих же конформеров. Дальнейшему переходу $R_V \to R_I$ способствуют все типы концевых дефектов, поэтому можно сделать вывод, что уже в фазе R_I появляются молекулы с более чем одним дефектом на цепь (вероятно, среди них появляются и кинки в сердцевинах ламелей). На переход в гексагональную фазу R_{II} в значительной степени реагируют лишь сильно локализованные дефекты, вероятно, тем самым увеличивая общее число дефектных молекул. И, наконец, в расплаве остаются в основном только дефекты с малой степенью локализации, что повышает вероятность образования нескольких конформеров в одной цепи.

Отметим, что проанализированные выше дефекты и соответствующие им полосы поглощения в литерату-

ре определены однозначно [13,24]. Однако в исследуемой области спектра явно присутствуют и другие слабые полосы (рис. 2), вероятно, соответствующие другим типам конформеров. Так, например, полосы при $\nu = 805.0$ и $856.8\,{\rm cm}^{-1}$, отнесенные нами к четным членам прогрессии маятниковых колебаний P_{12} и P_{14} , могут, согласно [19], также соответствовать термической активации высокоэнергетических дефектов, значительно искажающих регулярную структуру цепи, $-t_m g t_n$ (m, n > 3) и $-tg_m t - (m > 1)$ соответственно. Выявленная нами полоса P_{10} при $\nu = 768.0\,\mathrm{cm}^{-1}$ может быть также отнесена к концевому gt_m [25]. Аналогично к концевому гош-дефекту может быть отнесена обнаруженная нами полоса $\nu = 776.0\,\mathrm{cm}^{-1}$ [19]. Кроме того, в литературе имеются сведения и о других концевых дефектах в н-алканах при нагревании, которые возникают в остальном в плоских цепях [28]. Среди них, кроме концевого gt_m , наблюдаемого по нашим данным при $\nu = 873.6 \,\mathrm{cm}^{-1}$ [19,25,28], выделяют также концевые tg- и gg-, которые мы обнаруживаем на частотах $\nu = 845.0$ [19,25,28,29] и $869.3\,\mathrm{cm}^{-1}$ [19,28] соответственно. Такие дефекты также приводят к значительным загибам концов цепей, а следовательно, являются более энергозатратными.

Изменения концентрации обнаруженных в исследуемой области спектра концевых дефектов трех перечисленных типов при нагревании трикозана представлены на рис. 7. Как видно, число дефектов tg- на частоте $\nu = 845.0\,{\rm cm}^{-1}$ практически постоянно при нагревании трикозана. Концентрация gt_m при $v = 776.0 \, \mathrm{cm}^{-1}$ несколько снижается при переходе в ротационные фазы, что может свидетельствовать о высокой степени локализации дефекта. Число концевых двойных гошдефектов gg- при $\nu = 869.3 \, \text{cm}^{-1}$ заметно реагирует на полиморфные превращения, подскакивая в 5-8 раз при переходах между ротационными фазами, при этом концентрация данных дефектов в самой низкотемпературной твердой фазе трикозана мало отличается от их концентрации в высокотемпературной гексагональной фазе.

Несмотря на большое количество имеющейся литературы о возможных конформационных дефектах в налканах, нам не удалось найти какой-либо информации о дефектах, соответствующих полосам поглощения при $\nu=1075.8$ и 1120.4 cm $^{-1}$, хотя для этих полос характерно четкое увеличение интегральных интенсивностей при переходе в ротационные фазы (рис. 8). При этом первая полоса ведет себя аналогично полосе, обусловленной концевым дефектом gt_m на частоте $\nu=1080.8$ cm $^{-1}$ (m>1), что позволяет предположить связь этой полосы с неким слабо локализованным дефектом. Вторая полоса, как уже было отмечено ранее, близка по частоте с R_2 и оказывает на нее значительное влияние. Вероятно, эта полоса обусловлена появлением некоего сильно локализованного конформационного дефекта.

Как упоминалось ранее, в спектрах нормальных углеводородов отчетливо выражены достаточно интенсивные

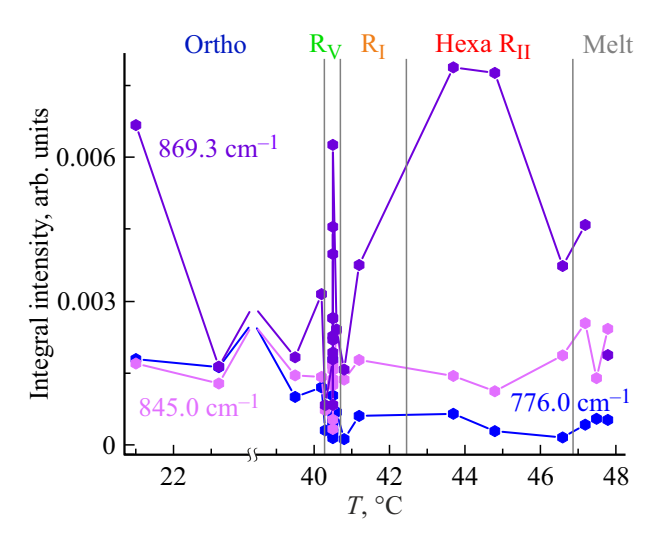


Рис. 7. Температурные зависимости интегральных интенсивностей ИК-полос трикозана, связанных с различными концевыми дефектами, обнаруженными в области прогрессий P_k и R_k .

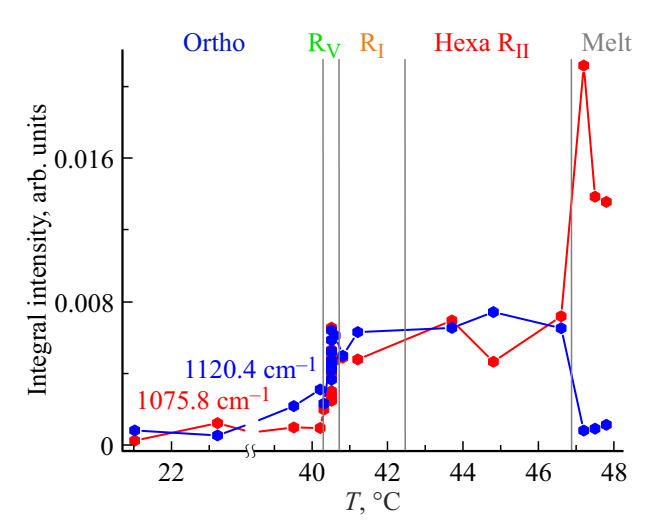


Рис. 8. Температурные зависимости интегральных интенсивностей ИК-полос трикозана, связанных с некоторыми неопознанными конформационными дефектами.

полосы поглощения, отнесенные к маятниковым колебаниям концевых метильных групп ${\rm CH_3}$. Полоса почти постоянной частоты вблизи $890\,{\rm cm^{-1}}$ (β) принадлежит к смешанным скелетным колебаниям и маятниковым іпрlane-колебаниям метильной группы, и эти колебания локализованы на концах молекулы [17,30]. В спектре трикозана при $T=21\,^{\circ}{\rm C}$ можно выделить сильную полосу поглощения маятникового іn-plane-колебания ${\rm CH_3}$ групп на частоте $\nu=891.0\,{\rm cm^{-1}}$, причем эта мода относится к колебаниям концов цепи в противофазе. В спектре тетракозана [14] нам удавалось выделить слабое низкочастотное плечо у этой полосы, связанное с колебаниями групп ${\rm CH_3}$ в фазе, однако в данном случае для трикозана в этой области проявляется член прогрессии маятниковых колебаний ${\rm P_{15}}$ на частоте $\nu=884.9\,{\rm cm^{-1}}$

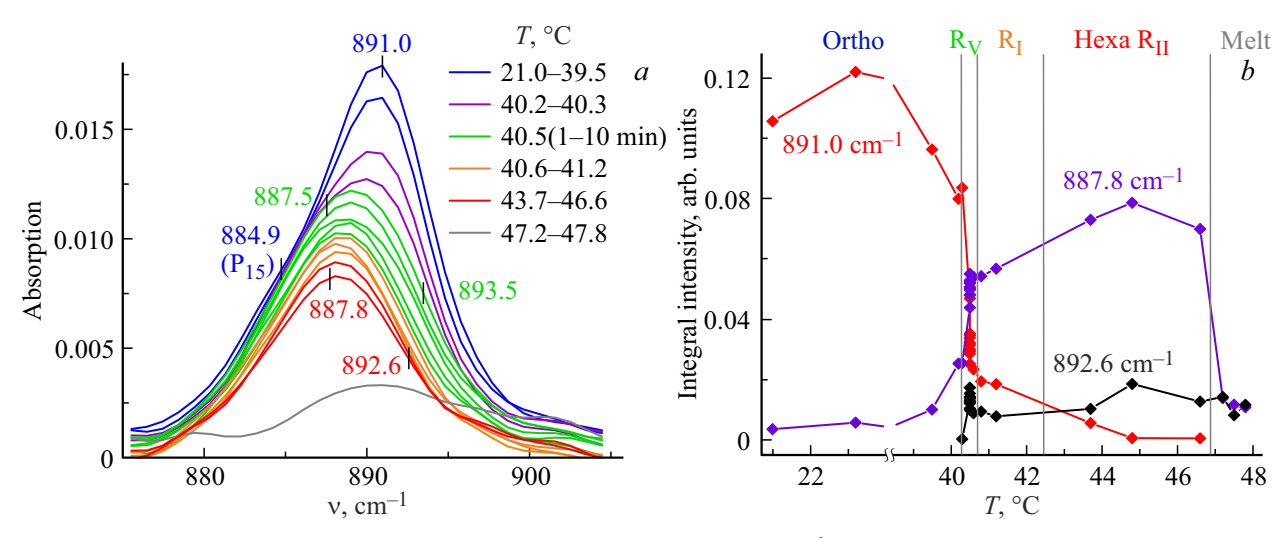


Рис. 9. *a*) Температурные изменения в спектре трикозана в области 890 cm⁻¹, *b*) температурные зависимости интегральных интенсивностей для полос, соответствующих маятниковым in-plane-колебаниям метильных групп CH₃.

(рис. 9, a), что существенно затрудняет анализ изменений этих налагающихся полос при нагревании.

Тем не менее, удалось установить, что частоты этих локализованных мод вовсе не остаются постоянными в исследуемом температурном диапазоне, а также испытывают частотные сдвиги при температурах, соответствующих переходам между ротационными фазами (рис. 9, a). Более того, число полос в этой области при нагревании трикозана явно увеличивается. Итак, в исходной орторомбической фазе трикозана колебание β наблюдается на частоте $\nu = 891.0\,\mathrm{cm}^{-1}$, однако уже при $\Delta T = 40.2 - 40.3$ °C у этой полосы на фоне существенного уменьшения интенсивности появляется значительное низкотемпературное плечо при $\nu = 887.5 \, \mathrm{cm}^{-1}$ (рис. 9, a). Подчеркнем, что колебание β считается удивительно конформационно-зависимым [25], а потому отражает изменения конформации концов цепи. На основании наблюдаемых эффектов можно заключить, что первоначальные структурные изменения при нагревании трикозана возникают именно в приповерхностных слоях ламелей, содержащих концевые метильные группы, тогда как в сердцевинах ламелей все еще сохраняется упорядоченная орторомбическая укладка молекул. К аналогичным выводам мы пришли при сравнении температурных изменений различных мод валентных колебаний связей С-Н в трикозане [31].

При дальнейшем нагревании в очень узком интервале температур $\Delta T = 40.3 - 40.5$ °C при переходе в ротационную фазу R_V две рассматриваемые полосы сначала сравниваются по интенсивности, затем полоса с $\nu = 887.5 \, {\rm cm}^{-1}$ становится основной, а полоса при $\nu = 890.5\,{\rm cm^{-1}}$ оказывается в роли высокочастотного плеча (рис. 9, a и b). Кроме того, усиление полосы $v = 887.5 \, \text{cm}^{-1}$ сопровождается появлением другого высокочастотного плеча при $\nu = 893.5\,\mathrm{cm}^{-1}$. При дальнейшем переходе в фазу R_I три анализируемые полосы

сохраняют свои интенсивности, за исключением члена прогрессии Р₁₅, влияние которого значительно ослабевает. При переходе в гексагональную фазу $R_{\rm II}$ исходная полоса β полностью пропадает, и остаются две полосы $\nu = 887.8 \text{ и } 892.6 \text{ cm}^{-1}.$

При исследовании области спектра тетракозана вблизи $890\,\mathrm{cm}^{-1}$ (β) [14] нами были получены аналогичные результаты. Было установлено, что при переходе $R_V o R_I$ происходит смещение частоты eta от значения $\nu = 891.5\,\mathrm{cm}^{-1}$ к $\nu = 888.7\,\mathrm{cm}^{-1}$. Поскольку подобный сдвиг частоты β при твердофазном переходе наблюдался также и в [25], было выдвинуто предположение, что эта полоса для всех н-алканов смещается в сторону более низких частот в результате увеличения конформационного беспорядка.

В работах Снайдера [17,18,21] были определены частоты маятниковых колебаний β метильной группы для гомологической серии н-алканов, на основании анализа которых было выявлено отличие частоты β в зависимости от типа симметрии кристаллической решетки гомолога: для триклинной структуры характерна одиночная полоса вблизи $893\,\mathrm{cm}^{-1}$, тогда как для моноклинной и орторомбической структур — дублеты 888/893 и $891/894 \, \mathrm{cm}^{-1}$ соответственно. Представленные частоты были определены при $T = -180\,^{\circ}\mathrm{C}$, поэтому различия с полученными нами результатами при комнатной температуре не удивительны. Тем не менее, выявленные нами частоты полос в фазах R_V и R_I трикозана схожи с дублетами, описанными Снайдером. Поскольку частоты β зависят от определенного типа взаимодействия концевых метильных групп в соседних ламелях, т.е. именно от структуры поверхности ламелей, а не строения их сердцевин [26], то, вероятно, наклон молекул в ламелях оказывает некоторое влияние на значение частоты β .

Можно утверждать, что существенные трансформации частот и интенсивностей полос в области β колебаний в случае трикозана с исходной орторомбической симметрией субъячеек связаны именно с увеличением межламеллярного пространства при переходе в ротационные фазы (R_V и R_I) и возможностью некоторого поворота концевых групп CH_3 относительно остальной цепи. Аналогичные результаты для тетракозана с исходными триклинными субъячейками были получены при переходе именно в высокотемпературную фазу R_{II} [14], что подчеркивает различия кинетики полиморфных превращений в гомологах разной четности [12].

В завершение, хотелось бы обратить внимание на существенное уменьшение интенсивности всех полос поглощения при переходе из твердой фазы в жидкую. Наблюдаемый эффект объясняется изменением электрооптических межмолекулярных взаимодействий при переходе от упорядоченного состояния к "случайному" [25].

4. Заключение

Проведен детальный анализ конформационных изменений, возникающих при полиморфных превращениях трикозана $n\text{-}\mathrm{C}_{23}\mathrm{H}_{48}$ при нагревании, на основании наблюдаемых температурных изменений ИК-Фурьеспектров в области $\nu = 700-1200\,\mathrm{cm}^{-1}$, содержащей прогрессии маятниковых колебаний групп CH_2 (P_k) и валентных (скелетных) колебаний связей $\mathrm{C-C}$ (R_k), а также маятниковое in-plane-колебание групп CH_3 (β).

Поскольку прогрессии полос $(P_k$ и $R_k)$ обусловлены наличием регулярных транс-последовательностей в сердцевинах ламелей н-алканов, то их температурные изменения позволяют однозначно охарактеризовать, какие конформационные трансформации происходят с транс-молекулами в процессе нагревания. Эти результаты дополняются при анализе температурных изменений полос локализованных мод колебаний, обусловленных колебаниями концевых метильных CH_3 групп или нерегулярными конформерами. Поведение данных полос отражает изменение структуры определенного локального участка цепи при нагревании н-алкана.

Нужно отметить, что в ИК-спектре н-алкана в полностью регулярной транс-конформации активны только k-нечетные члены маятниковой моды (P_{odd}). Установлено, что под воздействием температуры правила отбора нарушаются, и в прогрессиях появляются полосы, соответствующие k-четным маятниковым модам (P_{even}). Такие полосы могут быть ИК-активны, только если некоторые цепи н-алканов содержат один гош-конформер. Более того, одновременное сосуществование четных и нечетных членов прогрессии (в такой пропорции, что четные члены существенно слабее нечетных) указывает на незначительное отклонение структуры цепей от полностью транс-конформации, что может быть связано только с наличием конформеров, локализованных на концах цепей. Как оказалось, даже в низкотемпературной орторомбической структуре О_і небольшая часть молекул является неплоской (< 1 дефекта на молекулу).

Таким образом, термически активированные концевые гош-дефекты различных типов не нарушают остальную часть плоских выпрямленных цепей и, соответственно, не деформируют заметным образом кристаллическую структуру в сердцевинах ламелей, о чем свидетельствует сохранение прогрессий полос даже в высокотемпературной гексагональной фазе.

Наибольший интерес представляет возрастание степени конформационного беспорядка в процессе нагревания н-алкана. Установлено, что происходит уменьшение интенсивности полос P_{odd} и R_k при каждом переходе между ротационно- кристаллическими фазами $(R_V \to R_I \to R_{II})$. Более того, наиболее резкое уменьшение интенсивности прогрессий происходит именно вблизи перехода $R_V \to R_I$, что указывает на существенные нарушения структуры транс-зигзага молекул именно на этой стадии структурных превращений в трикозане. Поскольку для четного н-алкана тетракозана аналогичное уменьшение интенсивности полос в прогрессиях выявлено именно при переходе $R_I \to R_{II}$ [14], то можно предположить, что наблюдаемые эффекты связаны с релаксацией метастабильной ротационной фазы к более энергетически выгодной (для $C_{23}H_{48}$ метастабильной фазой оказывается R_V , тогда как для $C_{24}H_{50} - R_I$ [12]). Вероятно, процесс релаксации происходит за счет быстрого появления концевых дефектов различных типов именно в приповерхностных областях ламелей [31]. Отметим, что о термической активации конформационных дефектов при переходе $R_V o R_I$ также свидетельствует некоторое возрастание интенсивности полос, отнесенных к модам Peven неплоских молекул, реагирующих также и на переход в фазу R_{II}.

Кроме этого, впервые установлено, что возникающие при полиморфных превращениях трикозана концевые гош-дефекты gt_m различаются по степени их локализации в цепи. При этом концентрации концевых гошконформеров увеличиваются с повышением температуры, испытывая резкие скачки при переходах между ротационными фазами $R_V o R_I$ и $R_I o R_{II}$, однако явно термическая активация того или иного дефекта ограничена возможностями его локализации в цепи. Обнаружено, что в твердых фазах трикозана преобладают сильнолокализованные концевые гош-дефекты, расположенные в приповерхностных слоях ламелей, что подчеркивает сохранение большинством молекул регулярных транс-конформаций в сердцевинах ламелей на протяжении всех полиморфных превращений. Более того, можно предположить, что молекулы с более чем одним дефектом на цепь появляются в фазе R_I, а в гексагональной фазе R_{II} в значительной степени растет общее число дефектных молекул. В спектрах расплава, естественно, преобладают концевые дефекты с малой степенью локализации, что повышает вероятность образования нескольких конформеров в одной цепи.

Можно утверждать, что локальная конформация концевого гош-дефекта влияет также на маятниковое inplane-колебание групп CH_3 (β), частота которого смещается в сторону более низких частот при увеличении конформационного беспорядка. Установлено, что в случае трикозана наиболее сильные изменения β колебания характерны для перехода именно в ротационную фазу R_V , что, вероятно, может быть связано с переходом в ротационные фазы с увеличенным межламеллярным пространством и возможностью некоторого поворота концевых групп CH_3 относительно остальной цепи.

На наш взгляд, именно конформационный беспорядок играет ключевую роль в процессах перестроения ротационно-кристаллических R-фаз.

Конфликт интересов

Авторы заявляют, что у них нет конфликта интересов.

Список литературы

- [1] M.G. Broadhurst. J. Res. Nat. Bur. Stand. 66A, 3, 241 (1962).
- [2] J. Doucet, I. Denicoló, A.F. Craievich, A. Collet. J. Chem. Phys. 75, 10, 5125 (1981).
- [3] G. Ungar. J. Phys. Chem. 87, 4, 689 (1983).
- [4] E.B. Sirota, H.E. King Jr, D.M. Singer, H.H. Shao. J. Chem. Phys. 98, 7, 5809 (1993).
- [5] M. Dirand, M. Bouroukba, V. Chevallier, D. Petitjean, E. Behar, V. Ruffier-Meray. J. Chem. Eng. Data 47, 2, 115 (2002).
- [6] A.-J. Briard, M. Bouroukba, D. Petitjean, N. Hubert, M. Dirand, J. Chem. Eng. Data. 48, 3, 497 (2003).
- [7] A.K. Борисов, В.А. Марихин, В.М. Егоров. ФТТ 66, 5, 752 (2024).
 [A.K. Borisov, V.A. Marikhin, V.M. Egorov. Phys. Solid State 66, 5, 726 (2024)].
- [8] А.К. Борисов, С.А. Гурьева, В.М. Егоров, В.А. Марихин. ФТТ **66**, *10*, 1810 (2024). [А.К. Borisov, S.A. Gureva, V.M. Egorov, V.A. Marikhin. Phys. Solid State **66**, *10*, 1730 (2024)].
- [9] A. Müller. Proc. Royal Soc. A 138, 836, 514 (1932).
- [10] А.И. Китайгородский. Молекулярные кристаллы. Наука, М. (1971). 424 с.
- [11] С.А. Гурьева, А.К. Борисов, В.А. Марихин, М.В. Байдакова, Е.С. Куликова, П.В. Дороватовский. ФТТ **67**, *4*, 711 (2025). [S.A. Gureva, A.K. Borisov, V.A. Marikhin, M.V. Baidakova, E.S. Kulikova, P.V. Dorovatovskii. Phys. Solid State **67**, *4*, 683 (2025)].
- [12] С.А. Гурьева, В.А. Марихин, Е.Н. Власова. ФТТ 65, 12, 2286 (2023). [S.A. Gureva, V.A. Marikhin, E.N. Vlasova. Phys. Solid State 65, 12, 2008 (2023)].
- [13] R.G. Snyder, M. Maroncelli, S.P. Qi, H.L. Strauss. Sci. 214, 4517, 188 (1981).
- [14] С.А. Гурьева, В.А. Марихин, Е.Н. Власова. ФТТ 66, 9, 1562 (2024). [S.A. Gureva, V.A. Marikhin, E.N. Vlasova. Phys. Solid State 66, 9, 1494 (2024)].
- [15] С.А. Гурьева, В.А. Марихин, А.К. Борисов, Е.Н. Власова. ФТТ — направлена в печать (2025).
- [16] M. Wojdyr. J. Appl. Crystallogr. 43, 5, 1126 (2010).
- [17] R.G. Snyder, J.H. Schachtschneider. Spectrochimica Acta 19, 1, 85 (1963).
- [18] R.G. Snyder. Mol. Spectr. 4, 1-6, 411 (1960).
- [19] R.G. Snyder. J. Chem. Phys. 47, 4, 1316 (1967).

- [20] Р. Збинден. Инфракрасная спектроскопия высокополимеров. Мир, М. (1966). 355 с. [R. Zbinden. Infrared Spectroscopy of High Polymers. Academic Press, New York—London (1964)].
- [21] R.G. Snyder. Mol. Spectr. 7, 116 (1961).
- [22] G. Ungar, N. Masic. J. Phys. Chem. 89, 6, 1036 (1985).
- [23] А.С. Давыдов. УФН **82**, *3*, 393 (1964). [A.S. Davydov. Sov. Phys. Usp. **7**, *2*, 145 (1964)].
- [24] M. Maroncelli, S.P. Qi, H.L. Strauss, R.G. Snyder. J. Am. Chem. Soc. 104, 23, 6237 (1982).
- [25] G. Zerbi, R. Magni, M. Gussoni, K.H. Moritz, A. Bigotto, S. Dirlikov. J. Chem. Phys. 75, 7, 3175 (1981).
- [26] J.-P. Gorce, S.J. Spells, X.-B. Zeng, G. Ungar. J. Phys. Chem. B 108, 10, 3130 (2004).
- [27] P.A.S.R. Wickramarachchi, S.J. Spells, D.S.M. de Silva. J. Phys. Chem. B 111, 7, 1604 (2007).
- [28] Y. Kim, H.L. Strauss, R.G. Snyder. J. Phys. Chem. 93, 1, 485 (1989).
- [29] M. Maissara, J. Devaure. J. Raman Spectrosc. 18, 3, 181 (1987).
- [30] J.H. Schachtschneider, R.G. Snyder. Spectrochimica Acta 19, 1, 117 (1963).
- [31] S.A. Gureva, V.A. Marikhin, L.P. Myasnikova, B.Z. Volchek, D.A. Medvedeva. J. Phys.: Conf. Ser. 1697, 1, 012093 (2020).

Редактор Е.В. Толстякова